

УДК 552.57/543.544.5.068.7/543.429.23

DOI: 10.15372/KhUR20160310

## Изучение взаимосвязи строения ископаемых углей и содержания в них полициклических ароматических углеводородов

Н. В. ЖУРАВЛЕВА<sup>1,2</sup>, Е. Р. ХАБИБУЛИНА<sup>1,2</sup>, З. Р. ИСМАГИЛОВ<sup>1,3</sup>, Р. Р. ПОТОКИНА<sup>1,2</sup>, С. А. СОЗИНОВ<sup>4</sup>

<sup>1</sup>Институт углехимии и химического материаловедения  
Федерального исследовательского центра угля и углехимии Сибирского отделения РАН,  
проспект Советский, 18, Кемерово 650000 (Россия)

E-mail: IsmagilovZR@iccms.sbras.ru

<sup>2</sup>ОАО “Западно-Сибирский испытательный центр”,  
ул. Орджоникидзе, 9, Новокузнецк 654006 (Россия)

E-mail: main@zsic.ru

<sup>3</sup>Институт катализа им. Г. К. Борескова Сибирского отделения РАН,  
проспект Академика Лаврентьева, 5, Новосибирск 630090 (Россия)

<sup>4</sup>Центр коллективного пользования  
Федерального исследовательского центра угля и углехимии Сибирского отделения РАН,  
ул. Рукавишниковая, 21, Кемерово 650000 (Россия)

### Аннотация

Исследованы образцы углей различных марок, представляющих ряд метаморфического превращения. Методом ЯМР-спектроскопии установлено, что с увеличением зрелости углей растет вклад содержания углерода в структурных фрагментах от ароматических колец. Пропорционально уменьшается вклад от концевых атомов алкильных фрагментов и кислородсодержащих групп. Методом высокоэффективной жидкостной хроматографии определен качественный и количественный состав индивидуальных представителей класса полициклических ароматических углеводородов (ПАУ) в органических экстрактах каменных углей. Угли марок К, КС характеризуются максимальным суммарным содержанием ПАУ – от 363.4 до 432.0 мкг/кг. Выявлена закономерность изменения суммарного состава ПАУ с увеличением зрелости углей. Максимум кривой соответствует образцам с показателем отражения витринита, равным 1.185–1.310 %.

**Ключевые слова:** каменный уголь, полициклические ароматические углеводороды, высокоэффективная жидкостная хроматография, ЯМР-спектроскопия

### ВВЕДЕНИЕ

Уголь представляет собой сложное природное многокомпонентное вещество с широким спектром химического состава и физических свойств. Современные методы анализа углей включают широкий комплекс физико-химических исследований в зависимости от поставленных задач. Среди них наиболее распространены следующие: 1) инфракрасная спектроскопия (ИК) [1–4] и ядерный магнитный резонанс (ЯМР) твердого тела [3, 5], которые позволяют изучить молекулярную структуру угля и идентифицировать функциональ-

ные группы; 2) метод электронного парамагнитного резонанса (ЭПР) для определения активных центров [6, 7]; 3) сканирующая электронная микроскопия (СЭМ) для изучения морфологии поверхности угольных образцов [4, 6]. Данные методы позволяют определить структурные и текстурные характеристики образцов.

Исследование органических экстрактов угля методом высокоэффективной жидкостной хроматографии (ВЭЖХ) позволяет установить их качественный и количественный состав, в частности, соединения класса полициклических ароматических углеводородов (ПАУ). Данные вещества входят в состав органичес-

кой массы угля и могут быть извлечены различными органическими растворителями [8].

Изучение содержания ПАУ в углях актуально по ряду причин, в том числе: 1) для уточнения структуры органической части угля, содержащей фрагменты молекул ПАУ; 2) для определения степени токсичности сырья, продукции и атмосферного воздуха на границе санитарно-защитной зоны угледобывающих и углеперерабатывающих предприятий.

Цель данной работы – изучение углей Кузбасса различной степени метаморфизма методами ВЭЖХ и ЯМР-спектроскопии.

### ЭКСПЕРИМЕНТАЛЬНАЯ ЧАСТЬ

Кузнецкий угольный бассейн располагает большими запасами каменных углей всех марок – от длиннопламенных до тощих. Для исследования выбраны пробы разных марок угля (Д, ДГ, ГЖО, Ж, К, КС, ОС), в совокупности представляющие практически полный ряд метаморфического превращения (табл. 1).

На первом этапе работы для паспортизации исходных образцов выполнен технический анализ углей. По стандартным методикам определены следующие показатели: зольность  $A^d$  рассчитывалась в процентах по массе остатка после прокаливании (ГОСТ 11022–95); аналитическая влага  $W^a$  определялась как потеря массы навески угля при нагревании в сушильном шкафу при 105–110 °С до постоянной массы (ГОСТ Р 52917–2008); выход ле-

ТАБЛИЦА 1

Исследованные пробы угля месторождений Кузбасса

Номер пробы	Марка угля	Месторождение
1	Д	Шахта “Грамотеинская”
2	ДГ	Шахта “Листвяжная”
3	ГЖО	“ТопПром”
4	ГЖО	Шахта “Чергинская Южная”
5	Ж	Шахта “С. Д. Тихого”
6	К	“Стройсервис”
7	КС	Участок “Коксовый”
8	КС	То же
9	ОС	То же

тучих веществ  $V^{daf}$  определялся как потеря массы навески угля при нагревании без доступа воздуха за вычетом потери массы, обусловленной влажностью пробы в пересчете на сухое беззольное состояние топлива (ГОСТ 6382–2001); пластометрические показатели  $x$ ,  $y$  определялись по ГОСТ 1186–87; содержание углерода  $C^{daf}$ , водорода  $H^{daf}$  рассчитывалось по ГОСТ Р 54244–2010, общей серы  $S^d$  – по ГОСТ Р 53356–2009, кислорода  $O^{daf}$  – по ГОСТ 2408.3–95 (табл. 2).

Для подтверждения заявленных марок угля исследуемых образцов выполнен петрографический анализ (ГОСТ Р 55662–2013). Исследование проводилось с использованием автоматизированного комплекса оценки марочного состава углей и угольных смесей SIAMS 620 (табл. 3).

ТАБЛИЦА 2

Технический анализ образцов углей Кузнецкого угольного бассейна различной степени метаморфизма

Показатели	Номер образца (марка угля)								
	1 (Д)	2 (ДГ)	3 (ГЖО)	4 (ГЖО)	5 (Ж)	6 (К)	7 (КС)	8 (КС)	9 (ОС)
Влага аналитическая $W^a$ , %	5.2	3.8	1.3	1.1	1.3	0.9	0.6	0.8	1.1
Зольность угля $A^d$ , %	8.4	4.0	9.9	15.8	7.5	8.8	4.6	9.1	10.3
Выход летучих веществ $V^{daf}$ , %	44.1	50.5	35.4	40.7	33.5	20.9	22.7	22.2	18.1
Пластометрия, мм:									
усадка $x$	24	40	37	29	23	33	18	30	29
пластический слой $y$	6	7	12	13	29	19	6	9	9
Серя общая $S^d$ , %	0.19	0.19	0.35	0.37	0.44	0.30	0.39	0.25	0.34
Углерод $C^{daf}$ , %	79.9	77.7	82.2	84.6	86.1	88.4	88.5	87.1	88.1
Водород $H^{daf}$ , %	4.9	5.1	5.1	5.4	5.3	4.4	4.5	4.0	4.7
Кислород $O^{daf}$ , %	12.4	13.0	8.2	5.8	5.6	4.3	3.7	4.9	4.1

ТАБЛИЦА 3

Петрографический состав образцов углей Кузнецкого угольного бассейна различной степени метаморфизма

Показатели	Номер образца (марка угля)								
	1 (Д)	2 (ДГ)	3 (ГЖО)	4 (ГЖО)	5 (Ж)	6 (К)	7 (КС)	8 (КС)	9 (ОС)
Мацеральный состав угля, %:									
витринит Vt	94	85	69	75	87	33	51	38	43
семивитринит Sv	1	2	7	4	2	16	10	14	17
инертинит I	5	13	24	21	11	51	39	48	40
Сумма фюзенитовых компонентов СЖК, %	5	14	29	24	12	62	49	57	51
Показатель отражения витринита $R_{0,r}$ , %	0.599	0.575	0.786	0.867	0.939	1.185	1.310	1.314	1.425

Спектры высокого разрешения  $^{13}\text{C}$  в твердом теле регистрировались на приборе Bruker Avance III 300 WB с использованием стандартной методики кросс-поляризации с вращением под магическим углом и развязкой от протонов (CPMAS) при частоте 75 МГц. Время контакта 1000 мкс, накопление 4096 сканов, задержка между сканами 2 с, частота вращения образца 7 кГц. Образцы помещались в ротор из оксида циркония диаметром 7 мм и закрывались крышкой из материала Kel-F. Измерение спектров проводилось при комнатной температуре. Химические сдвиги указывались относительно тетраметилсилана.

Для определения ПАУ в исследуемых образцах навеску угля массой 10 г и 20 мл органического растворителя дихлорметана (ДХМ) помещали в коническую колбу с притертой пробкой вместимостью 50 см<sup>3</sup> и дважды экстрагировали в ультразвуковом поле с рабочей частотой 35 кГц и мощностью 200 Вт. УЗ-обработка велась при температуре 40 °С в течение 20 мин для первой экстракции и 10 мин для второй. После этого экстракт объединяли и пропускали через фильтр (белая лента) со слоем осушителя ( $\text{Na}_2\text{SO}_4$ ) толщиной 2.0–2.5 см. Пробы объединяли, упаривали и заменяли растворитель на ацетонитрил до конечного объема 1 мл.

Качественное и количественное определение ПАУ в пробах углей осуществлялось методом ВЭЖХ с помощью LC-20AD Prominence (Shimadzu, Япония), который состоял из следующих блоков: градиентный насос высокого давления серии LC-20AD (система смещения до четырех растворителей), автосамплер SIL-20A (с возможностью варьирования объема вводимой пробы от 0.4 до 100 мкл), поточный

дегазатор подвижной фазы DGU-20A<sub>3</sub>, термостат колонок CTO-10FSpv, спектрофлуоресцентный детектор RF-20A, спектрофотометрический детектор с диодной матрицей SPD-V20A, колонка хроматографическая с размерами 250 × 4.0 мм, заполненная сорбентом MZ-PAH C18 зернением 5 мкм (MZ-analytical, Германия).

В качестве элюентов использовали ацетонитрил (сорт 1, ООО «НПК Криохром», С.-Петербург, Россия) и бидистиллированную воду. Хроматографирование проводили в градиентном режиме: ацетонитрил/вода от 70 : 30 до 100 : 0 за 12 мин, 100 % ацетонитрил с 12-й по 25-ю мин анализа. Расход растворителя 0.8 мл/мин. Ввод пробы в колонку осуществляли автоматически, объем вводимой пробы 20 мкл. Температура термостатирования колонки 40 °С. Детектирование осуществляли в следующих режимах: детектор на диодной матрице: спектры снимали в интервале 190–400 нм, при количественном определении сигнал регистрировали при 254 нм; флуоресцентный детектор: программирование на максимумах возбуждения и испускания для каждого соединения [9].

Идентификацию ПАУ проводили по абсолютным временам удерживания в соответствии с градуировкой и подтверждением по УФ-спектрам. Все ПАУ имеют характерные УФ-спектры, по которым с большой долей вероятности можно идентифицировать соединения. Одновременное использование двух детекторов при анализе проб неизвестного состава исключает ошибки идентификации веществ и количественного определения их концентрации.

Основной и рабочие градуировочные растворы определяемых компонентов в ацетонит-

риле готовились из стандартных образцов СОП 0101-03-0117-03 (ООО “Экохим”, С.-Петербург). Определение проводилось с использованием следующих стандартных веществ ПАУ: нафталин, аценафтен, фенантрен, антрацен, флуорантен, пирен, бенз(а)антрацен, хризен, бенз(б)флуорантен, бенз(к)флуорантен, бенз(а)пирен, дибенз(а, h)антрацен, бензо(г, h, i)перилен.

## РЕЗУЛЬТАТЫ И ОБСУЖДЕНИЕ

Марки угольных образцов определены в соответствии с единой классификацией углей по генетическим и технологическим параметрам на основании значений отражательной способности витринита  $R_{o,r}$ , суммы фюзенизированных компонентов  $\Sigma OK$ , толщины пластического слоя  $y$  и выхода летучих веществ  $V^{daf}$ . Данные, полученные методом  $^{13}C$  ЯМР-спектроскопии, отражают изменения, происходящие в структуре углей различной степени метаморфизма. По значению химических сдвигов (в сравнении с модельными соединениями) выделено несколько функциональных групп. На спектрах  $^{13}C$  ЯМР исследуемых угольных образцов присутствуют максимумы поглощения соединений углерода (рис. 1). Наибольший максимум поглощения приходится на область 129–148 м. д., что связано с наличием хорошо разрешенных пиков

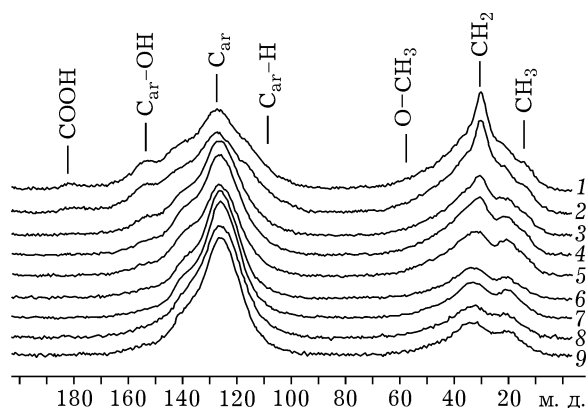


Рис. 1.  $^{13}C$  ЯМР-спектры исследуемых образцов Кузнецкого угольного бассейна: 1–9 – образцы № 1–9 различных марок: Д (1), ДГ (2), ГЖО (3), ГЖО (4), Ж (5), К (6), КС (7), КС (8), ОС (9).

ароматических углеродов ( $C_{Ar}$ ). Поглощение в областях 0–25, 25–51 м. д. обусловлено наличием в углях атомов углерода метиленовых ( $CH_2$ ) и метильных групп ( $CH_3$ ). С увеличением степени метаморфизма образцов (№ 1–9) спектр угля заметно изменяется. В алифатической области (0–51 м. д.) резонансы, обусловленные метильными и метиленовыми группами, практически исчезают. В ароматической области (93–129 м. д.) интенсивность резонансной линии существенно возрастает [7].

Линии поглощения 51–67 м. д. в спектрах углей марок Д, ДГ и ГЖО обусловлены наличием атомов углерода метильных групп и метиленовых мостиковых групп, связанных с

ТАБЛИЦА 4

Результаты исследования угольных образцов методом ЯМР-спектроскопии

Структурные фрагменты	Максимум, м. д.	Содержание углерода, отн. %									$f_a$
		Номер образца (марка угля)									
		1 (Д)	2 (ДГ)	3 (ГЖО)	4 (ГЖО)	5 (Ж)	6 (К)	7 (КС)	8 (КС)	9 (ОС)	
$CH_3-$	0–25	1.68	1.59	2.61	3.99	5.78	3.67	4.7	3.52	3.82	0.68
$CH_2=$	25–51	27.55	28.4	23.97	22.55	19.56	11.41	12.59	10.77	11.03	0.69
$OCH_3$	51–67	2.03	0.97	н/о	0.21	н/о	н/о	н/о	н/о	н/о	0.73
$C-O-C$	67–93	н/о	н/о	н/о	н/о	н/о	н/о	н/о	н/о	н/о	0.73
$C_{Ar}-H$	93–129	31.85	30.65	46.79	49.46	46.5	64.18	64.48	63.94	63.63	0.75
$C_{Ar}$	129–148	34.15	35.60	22.48	20.64	26.60	17.10	18.05	19.49	19.96	0.85
$C_{Ar}-O$	148–171	2.32	2.29	3.97	3.14	1.56	3.63	1.19	2.27	1.55	0.83
$COOH$	171–187	0.42	0.48	0.18	н/о	н/о	н/о	н/о	н/о	н/о	0.86
$C=O$	187–235	н/о	н/о	н/о	н/о	н/о	н/о	н/о	н/о	н/о	0.85

Примечание. Н/о – не обнаружено.

ТАБЛИЦА 5

Содержание ПАУ в пробах угля разной степени метаморфизма после экстракции ДХМ, мкг/кг

Соединения	Номер образца (марка угля)								
	1 (Д)	2 (ДГ)	3 (ГЖО)	4 (ГЖО)	5 (Ж)	6 (К)	7 (КС)	8 (КС)	9 (ОС)
Фенантрен	<6.0	14.3	86.2	50.6	33.0	204.2	199.6	103.2	124.9
Пирен	37.1	1.3	14.0	12.6	19.6	69.2	66.2	6.7	32.1
Бенз(а)антрацен	89.5	9.2	21.6	5.2	7.8	16.4	34.2	4.3	3.1
Хризен	<3.0	<3.0	<3.0	17.9	11.9	62.6	59.6	32.4	28.0
Бенз(б)флуорантен	<6.0	6.2	13.0	26.0	18.8	11.0	24.8	7.6	5.6
Бенз(а)пирен	<1.0	3.6	24.6	6.6	4.4	н/о	47.6	24.3	21.4
ΣПАУ	126.6	34.6	159.4	118.9	95.5	363.4	432.0	178.5	215.1

атомами кислорода. Поглощение в области 171–187 м. д. характерно только для образцов № 1–3 (марки Д, ДГ, ГЖО) и связано с наличием в угле карбоксильных групп. Отсутствует поглощение в областях 67–93 м. д., относящееся к углероду, связанному с гетероатомами кислорода мостиковыми связями, а также в области 187–235 м. д., соответствующее наличию групп С=О (табл. 4).

Для получения количественных данных проводилось моделирование спектров с помощью программы Dmfit [10]. Модель включала от 9 до 13 компонентов в зависимости от стадии метаморфизма углей, соответствующих следующим группам углеродных атомов, с максимумами поглощения, м. д. [11]: 187–235 – карбонильные группы (С=О); 171–187 – карбоксильные группы (СООН); 148–171 – ароматические атомы углерода, связанные с атомами кислорода (C<sub>Ar</sub>-О); 129–148 – ароматические атомы углерода (C<sub>Ar</sub>); 93–129 – протонированные ароматические атомы углерода (C<sub>Ar</sub>-H); 67–93 – кислородзамещенные алифатические фрагменты (C<sub>алк</sub>-О); 51–67 – метоксильные фрагменты (ОСН<sub>3</sub>); 25–51 – атомы углерода алкильных фрагментов (СН<sub>2</sub>); 0–25 – концевые атомы углерода алкильных фрагментов (СН<sub>3</sub>). Степень ароматичности рассчитывалась как:  $f_a = (C_{Ar}-O + C_{Ar} + C_{Ar}-H)/100$  [3]. По результатам моделирования определялась относительная доля каждой группы углеродных атомов.

В ряду метаморфизма угольных образцов возрастает вклад содержания углерода в структурных фрагментах от ароматических колец; пропорционально уменьшается вклад от концевых атомов алкильных фрагментов

(СН<sub>3</sub>-) и кислородсодержащих групп. Степень ароматичности возрастает.

Полициклические ароматические углеводороды относятся к стойким экотоксикантам и входят в состав органической массы углей.

В литературе приведены многочисленные источники природных ПАУ [12–15], однако каменный уголь в этом качестве рассматривается крайне редко. Концентрация в нем ПАУ может достигать сотен, а в некоторых случаях и тысяч мкг/кг. Содержание индивидуальных ПАУ в углях зависит от типа исходного растительного материала, участвующего в этапах углеобразования, и от термодинамических условий протекания данного процесса [16]. Эмиссия ПАУ в окружающую среду возможна на этапах добычи, складирования и транспортировки, а также в процессах высокотемпературной переработки угля.

Представитель данного класса соединений, бенз(а)пирен, обладает сильным канцерогенным



Рис. 2. Зависимость суммарного содержания ПАУ в угольных образцах различной степени метаморфизма от показателей отражения витринита R<sub>o,r</sub>: 1–9 – образцы № 1–9 соответственно.

действием, однако менее устойчив к влиянию окружающей среды, чем другие ПАУ. Его доля достигает всего 1 % в суммарном содержании ПАУ, среди которых многие обладают канцерогенными и мутагенными свойствами. По этой причине неправомерно оценивать канцерогенность проб только по бенз(а)пирену [17].

Анализ образцов углей методом ВЭЖХ выявил, что содержание бенз(а)пирена в экстрактах органическим растворителем варьирует в пределах 3.6–47.6 мкг/кг. Среди ПАУ преобладает трехядерный фенантрен (табл. 5).

Выявлена закономерность изменения суммарного состава ПАУ с увеличением зрелости углей ( $R_{o,r} = 0.599–1.425 \%$ ). При этом наибольшее содержание зафиксировано для образцов с  $R_{o,r} = 1.185–1.310 \%$  [16, 18].

С ростом стадии метаморфизма углей количество ароматических ядер и атомов углерода в них быстро растет, уменьшается удельное количество функциональных групп (что подтверждается результатами ЯМР-спектроскопии) и вследствие этого происходит сближение ароматических ядер. Эта закономерность проявляется в содержании ПАУ: при увеличении зрелости угля повышается концентрация данных соединений, достигая максимума для углей марок К, КС (СПАУ = 363.4–432.0 мкг/кг) (рис. 2). При дальнейшем переходе к тощим углям система становится жестко связанной, что выражается в уменьшении суммы ПАУ.

## ВЫВОДЫ

1. Методом ВЭЖХ определено содержание ПАУ в углях различных стадий метаморфизма Кузнецкого угольного бассейна. Максимальное суммарное содержание (363.4–432.0 мкг/кг) характерно для углей марок К, КС.

2. По данным анализа  $^{13}\text{C}$  ЯМР-спектроскопии установлено, что в ряду метаморфизма угольных образцов возрастает вклад содержания углерода в структурных фрагментах от ароматических колец; пропорционально уменьшается вклад от концевых атомов алкильных фрагментов ( $\text{CH}_3$ -) и кислородсодержащих групп. Степень ароматичности возрастает.

3. Выявлена закономерность изменения суммарного состава ПАУ с увеличением зре-

лости углей ( $R_{o,r} = 0.599–1.425 \%$ ), вид которой близок к параболической зависимости. При этом наибольшее содержание зафиксировано для  $R_{o,r} = 1.185–1.310 \%$ .

4. В пробах угля обнаружено канцерогенное соединение – бенз(а)пирен. Его содержание в экстрактах дихлорметана находится в диапазоне 3.6–47.6 мкг/кг.

5. Максимальные концентрации в угольных образцах обнаружены для фенантрена: его содержание на порядок выше содержания других соединений. Доля фенантрена достигает 50 % от суммарного содержания обнаруженных ПАУ.

## СПИСОК ЛИТЕРАТУРЫ

- 1 Джигрин А. В., Горлов Ю. В., Бучатский В. М., Ельский М. В. // Горн. информ.-аналит. бюлл. 2005. № 4. С. 76–79.
- 2 Балалаев А. К. // Геотехническая механика. НАН Украины. 2010. № 88. С. 198–207.
- 3 Федорова Н. И., Трясунов Б. Г. // Вестн. Кузбас. гос. техн. ун-та. Хим. технология. 2014. № 4 (104). С. 93–97.
- 4 Вертелецкая Н. Ю., Левченко Л. М., Шавинский Б. М. // Вестник КемГУ. 2013. Т. 3, № 3 (55). С. 61–65.
- 5 Алексеев А. Д., Ульянова Е. В., Василенко Т. А. // Усп. физ. наук. 2002. Т. 175, № 11. С. 1217–1232.
- 6 Валах М. Я., Кончиц А. А., Янчук И. Б., Шанина Б. Д., Алексеев А. Д., Василенко Т. А., Молчанов А. Н., Кириллов А. К. // Физика и техника высоких давлений. 2011. Т. 21, № 4. С. 148–159.
- 7 Адашкевич С. В., Лапчук Н. М., Лапчук Т. М., Олешкевич А. Н., Стельмах В. Ф., Фан Суан Тоан, Шилагарди Г. // 5-я Междунар. науч. конф. “Материалы и структуры современной электроники”, 10–11 октября 2012 г., Минск, Беларусь. С. 9–12.
- 8 Журавлева Н. В., Потокина Р. Р., Исмагилов З. Р., Хабибулина Е. Р. // Химия уст. разв. 2015. Т. 23, № 2. С. 117–123.
- 9 ПНД Ф 16.1:2.2:2.3:3.62–09. Методика выполнения измерений массовых долей полициклических ароматических углеводородов в почвах, донных отложениях, осадках сточных вод и отходах производства и потребления методом высокоэффективной жидкостной хроматографии. М.: Федеральная служба по надзору в сфере природопользования, 2009. 23 с.
- 10 Massiot D., Fayon F., Capron M., King I., Le S., Alonso B., Durand J.-O., Bujoli B., Gan Z., Hoatson G. // Magn. Res. Chem. 2002. No. 40. P. 70–76.
- 11 Гюльмалиев А. М., Головин Г. С., Гладун Т. Г. Теоретические основы химии угля. М.: Изд-во МГУ, 2003. 556 с.
- 12 Ровинский Ф. Я., Теплицкая Т. А., Алексеева Т. А. Фоновый мониторинг полициклических ароматических углеводородов. Л.: Гидрометеоздат, 1988. 224 с.
- 13 Zhen Li, Ling Mu, Lin Peng, Hui-Ling Bai, Xiao-Feng Liu, Bin Du. // Aerosol and Air Quality Research. 2012. Vol. 12. P. 1373–1378.
- 14 Максимова Е. Ю., Цибарт А. С., Абакумов Е. В. // Изв. Самар. НЦ РАН. Наземные экосистемы. 2013. Т. 15, № 3. С. 63–68.

- 15 Влияние отраслей промышленности на экологию окружающей среды: Матер. студ. докл. XLV, XLVI, XVII апрельской науч.-практ. конф. / Отв. ред. О. В. Карташова, Р. А. Панина. Горно-Алтайск: РИО ГАГУ, 2012. 117 с.
- 16 Achten C., Hofmann T. // *Sci. Total Environ.* 2009. Vol. 407. P. 2461–2473.
- 17 Басова Е. М., Иванов В. М. // *Вестн. Моск. ун-та. Сер. Химия.* 2011. Т. 52, № 3. С. 163–174.
- 18 Laumann S., Micic V., Kruge M. A., Achten C., Sachsenhofer R. F., Schwarzbauer J., Hofmann T. // *Environ. Pollution.* 2011. Vol. 159. P. 2690–2697.

